

## СИЛЬНЫЙ ВЗРЫВ В ГОРЮЧЕЙ СМЕСИ ГАЗОВ

В. П. КОРОБЕЙНИКОВ, В. А. ЛЕВИН

(Москва)

Пусть в горючей смеси газов произошел плоский, цилиндрический или сферический точечный взрыв. В результате взрыва возникает сильная ударная волна, которая включает механизм химических реакций с выделением тепла. Решение задачи для случая пренебрежения толщиной зоны тепловыделения (модель бесконечно-тонкой детонационной волны) было изучено в работах [1-3].

Как было подчеркнуто в [4], эти решения могут рассматриваться лишь как асимптотические для масштабов времени и расстояния больших по сравнению с масштабами, характерными для протекания химических реакций, и в предположении, что образовавшаяся при взрыве пересжатая детонационная волна при ослаблении ее волнами разрежения не вырождается в обычный скачок уплотнения. При этом остается открытым вопрос о возможности получения таких асимптотических решений при учете конечных скоростей химических реакций.

Рассмотрим следующие простые модели течения газа с учетом конечной скорости химических реакций:

- 1) модель двух фронтов: ударная волна и следующий за ней фронт пламени, где происходит полное тепловыделение  $Q$  в единице массы газа;
- 2) модель включения химической реакции с выделением тепла в поток за фронтом ударной волны после прохождения периода индукции; при этом учитывается и обратная реакция.

Уравнения, описывающие протекание химических реакций, возьмем в виде аррениусовских зависимостей ( $\tau_*$  — время индукции)

$$\frac{dc}{dt} = -\frac{1}{\tau_*} = -k_1 p^{n_1} \rho^{l_1} \exp \frac{-E_1 \rho}{p} \quad (1)$$

$$\frac{d\beta}{dt} = -k_2 \beta^{m_1} p^{n_2} \rho^{l_2} \exp \frac{-E_2 \rho}{p} + k_3 (1 - \beta)^{m_2} p^{n_3} \rho^{l_3} \exp \frac{-E_3 \rho}{p} \quad (2)$$

До начала реакции (2) считается, что  $\beta = 1$ , а  $c = 1$  на фронте ударной волны. Обращение  $c$  в нуль означает окончание периода индукции и начало реакции с выделением тепла во второй модели и мгновенное полное тепловыделение во фронте пламени в первой. При этом реакция (1) идет без выделения тепла.

Систему уравнений, описывающих одномерные движения газа, запишем в виде

$$\rho \left( \frac{\partial u}{\partial t} + u \frac{\partial u}{\partial r} \right) + \frac{\partial p}{\partial r} = 0, \quad \frac{\partial \rho}{\partial t} + \frac{\partial \rho u}{\partial r} + \frac{(\nu - 1) \rho u}{r} = 0$$

$$\rho \left( \frac{\partial h}{\partial t} + u \frac{\partial h}{\partial r} \right) - \left( \frac{\partial p}{\partial t} + u \frac{\partial p}{\partial r} \right) = 0, \quad h = \frac{\gamma}{\gamma - 1} \frac{p}{\rho} + \beta Q \quad (3)$$

Здесь  $h$ ,  $p$ ,  $\rho$ ,  $u$  — соответственно энтальпия, давление, плотность и скорость среды,  $\gamma$  — показатель адиабаты,  $\nu = 1, 2, 3$  соответственно для плос-

ких, цилиндрических и сферических волн,  $\beta$  — доля непрореагировавших молекул во второй модели,  $Q$  — полное тепловыделение в единице массы газа.

Для принятых моделей условия автомодельности задачи при различных  $l_i$ ,  $m_i$ ,  $n_i$  и зависимостях  $E_i$  и тепловыделения  $Q$  от давления и плотности (а также от координат и времени) фактически будут совпадать с рассмотренными ранее в работах [2, 4]. При распространении сильной взрывной волны в покоящемся газе постоянной плотности в автоматическом случае абсолютная ширина зоны индукции растет пропорционально  $t^{2/(v+2)}$ . Однако относительная толщина этой зоны, равная отношению разности координат ударной волны и волны горения к координате ударной волны, будет оставаться постоянной. Заметим, что для этого автомодельного движения величины  $Q$  и  $E_i$  пропорциональны давлению. Учет конечной скорости химической реакции приводит к существенному изменению качественной картины течения газа. Примеры решений без учета зоны индукции приведены в работе [4].

Если величины  $E_i$  и  $Q$  постоянны, то задача о точечном взрыве не будет автомодельной.

Рассмотрим взрыв в однородной покоящейся среде. В моменты времени, близкие к начальному, величина полной энергии, выделившейся при горении в объеме, ограниченном ударной волной, значительно меньше энергии взрыва, т. е.

$$E_0 > \sigma_v \int_0^{r_s} Q(1 - \beta) \rho r^{v-1} dr, \quad \sigma_v = 2(v-1)\pi + (v-2)(v-3) \quad (4)$$

и поэтому влияние горения на газодинамическое течение мало (здесь через  $r_s$  обозначена координата ударной волны).

Для начальной стадии взрыва, когда справедливо неравенство (4), можно искать решение, используя метод линеаризации по малому параметру  $\mu$  пропорциональному отношению  $\rho_\infty Q r_s^v / E_0$ . Тогда для любой искомой функции  $f$  имеем

$$f = f_0 + \mu f_1 + \dots \quad (5)$$

После подстановки функций вида (5) в уравнения (1) — (3) для  $f_0$  и  $f_1$  получим системы дифференциальных уравнений в частных производных. Одна из них, являясь нелинейной, содержит только главные члены разложения, а другая линейная для величин  $f_1$ . При этом система для главных членов сама распадается на две. Решением газодинамических уравнений будут автомодельные функции, описывающие течение от сильного точечного взрыва [5] (влияние химических реакций пренебрежимо мало). Химические реакции в этом случае протекают на заданном поле течения и описываются уравнениями (1), (2), в которых каждой функции следует приписать индекс 0.

Эти уравнения интегрировались для ряда значений параметров энергий активации  $E_1$ ,  $E_2$  и различных величин энергии взрыва при значениях постоянных

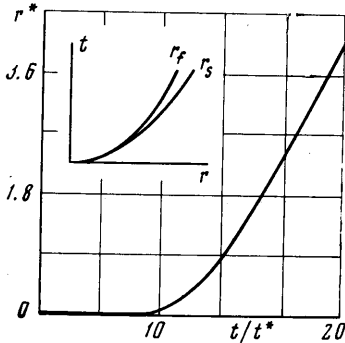
$$n_1 = 1, \quad n_2 = 2, \quad l_1 = l_2 = l_3 = 0, \quad m_1 = m_2 = 2, \quad k_2 = k_3$$

$$E_3 = E_2 + Q, \quad E_2 = 2 \cdot 10^{10} \text{ см}^2/\text{сек}^2, \quad Q \sim 7 \cdot 10^{10} \text{ см}^2/\text{сек}^2, \quad k_2 = 10^5 \text{ атм} \cdot \text{сек}^{-1}$$

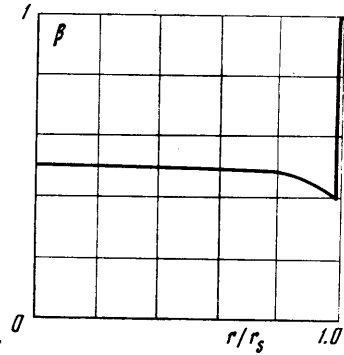
Постоянные  $k_1$  и  $E_1$  принимались близкими к соответствующим постоянным для времени задержки воспламенения в кислородо-водородных смесях. Результаты расчетов приведены на фиг. 1, 2. На фиг. 1  $r^* = (r_s - r_f) / Q^{-1/2} t^*$ .

Расчеты показали, что учет конечности скоростей химических реакций приводит к качественно новой картине развития течения, по сравнению с моделью бесконечно-тонкой детонационной волны. Из-за существования у температуры, давления и плотности газа за волной больших отрицательных градиентов в области резкого расширения потока зона воспламенения отделяется от ударного фронта.

Время задержки воспламенения сильно возрастает, несмотря на то что взрывная волна еще достаточно сильная. Это приводит к распаду детонационной волны на обычный скачок уплотнения и фронт пламени. Экспериментально такое явление при взрыве было обнаружено в работе [6]. Явление распада детонационной волны также наблюдалось при дифракции детонационных волн [7] и при гиперзвуковом обтекании затупленных тел горючей смесью газов [8, 9].



Фиг. 1



Фиг. 2

Вычисления показали, что для принятой модели прямой и обратной реакции (2) велика роль обратной реакции, которой обычно пренебрегали при описании движений газа за детонационными волнами. Из-за очень большой температуры смесь сгорает не до конца и тепловая энергия выделяется лишь частично.

Отношение энергии, выделившейся в модели 2, к той, которая выделилась в модели 1 при полном сгорании, будет для  $\tau = 10$ ,  $\nu = 2$ ,  $E^{(2)}/E^{(1)} \sim 0.5$  ( $\tau = t/t^*$ ,  $t^* = 10^{-7}$  сек).

К этому моменту зона воспламенения уже отделилась от взрывной волны, а величина выделившейся при горении во всей возмущенной области энергии ничтожно мала по сравнению с энергией взрыва

$$\frac{E^{(2)}}{E_0} \sim 0.02, \quad E_0 = 10^{10} \text{ эрг/см}$$

При увеличении энергии взрыва время начала резкого распада волн возрастает, при увеличении же энергии активации убывает, а расщепление волны происходит более ярко выражено. Заметим, что грубую оценку времени индукции можно получить, используя аппроксимацию автомодельного решения, предложенную в [10]. Действительно, примем, что

$$\frac{1}{T_0} = \frac{1}{T_*} + \frac{a}{T_*} \ln \frac{t}{t_*}, \quad \rho_0 = \rho_* \left( \frac{t_*}{t} \right)^{2b}, \quad p_0 = p_* \left( \frac{t_*}{t} \right)^{2b\nu}$$

где  $T_*$ ,  $\rho_*$  — температура и плотность в частице, прошедшей через ударную волну в момент  $t_*$ , а  $a$  и  $b$  — постоянные, определяемые из условия аппроксимации газодинамических функций сильного взрыва. Тогда из уравнения (1) для доли индукции  $c_0$  находим ( $n_1 = 1$ ,  $l_1 = 0$ ):

$$c_0 = 1 - \frac{t_*}{\tau_0(t_*)A} \left[ 1 - \left( \frac{t_*}{t} \right)^A \right] \quad (6)$$

$$A = 2b\nu + \frac{aE_1}{RT_*} - 1, \quad \tau_0(t_*) = \frac{1}{k_1 p_*} \exp \left( \frac{E_1}{RT_*} \right)$$

Пусть  $t_0$  — время, когда  $c_0 = 0$ , тогда, используя для времени индукции  $t_*$  соотношение  $t_* = t_0 - t_*$ , из (6) находим

$$\tau_*(t_*) = t_* [1 - \tau_0(t_*)A/t_*]^{-1/A} \quad (7)$$

В сферическом случае для  $\gamma = 1.3$  в [10] было найдено  $a = 0.44$ ,  $b = 0.75$ .

Проведенные расчеты с указанными выше постоянными показывают, что формула (7) описывает правильно картину явления расщепления детонационной волны, хотя при малых  $t_*$  дает большие погрешности в определении времени индукции  $t_*$ .

Для больших времен, когда уже нельзя будет пользоваться разложением (5), нужно решать задачу численно. Здесь могут произойти либо затухание реакции и, следовательно, механизм горения станет другим, например диффузионным, которое в рамках принятых моделей описать невозможно, либо разрушение одномерности течения за счет неустойчивости и возникновения дополнительных очагов воспламенения, что в конечном счете может привести к восстановлению детонационного горения.

В заключение авторы с благодарностью отмечают, что основные расчеты для данной работы выполнены Е. Бишимовым.

Поступило 16 VI 1969

#### ЛИТЕРАТУРА

1. Левин В. А. Приближенное решение задачи о сильном точечном взрыве в горючей смеси. Изв. АН СССР, МЖГ, 1967, № 1.
2. Korobeinikov V. P. The problem of point explosion in a detonating gas. Proc. 1-st Internat. Colloquium on Gas Dynamics of Explosions. Brussels, 1967. Astronaut. Acta, 1969, vol. 14, No. 5.
3. Бишимов Е. Численное решение задачи о сильном точечном взрыве в детонирующем газе. В сб.: «Дифференциальные уравнения и их применение», Алма-Ата, «Наука», 1968.
4. Бишимов Е., Коробейников В. П., Левин В. А., Черный Г. Г. Одномерные нестационарные течения горючей смеси газов с учетом конечной скорости химических реакций. Изв. АН СССР, МЖГ, 1968, № 6.
5. Седов Л. И. Методы подобия и размерностей в механике, Изд. 6. М., «Наука», 1967.
6. Lee J. H., Soloukhin R. I., Oppenheim A. K. Current views on gaseous Detonation. Proc. 1-st Internat. Colloquium on Gas Dynamics of Explosions. Brussels, 1967. Astronaut. Acta, 1969, vol. 14, No. 5.
7. Гвоздева Л. Г. Экспериментальное исследование дифракции детонационных волн в стехиометрической смеси метана с кислородом. ПМТФ, 1961, № 5, стр. 53.
8. A technique for studying supersonic combustion in the vicinity of a hypersonic missile. Tech. News. Bull., 1960, vol. 44, No. 11.
9. Черный Г. Г. Сверхзвуковое обтекание тел с образованием фронтов детонации и медленного горения. Astronaut. Acta, 1968, vol. 13, p. 467.
10. Зельдович Я. Б., Райзер Ю. П. Физика ударных волн и высокотемпературных гидродинамических явлений. М., Физматгиз, 1963.